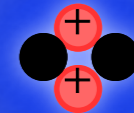


# ヘリウム $\text{He}^4$ の超流動

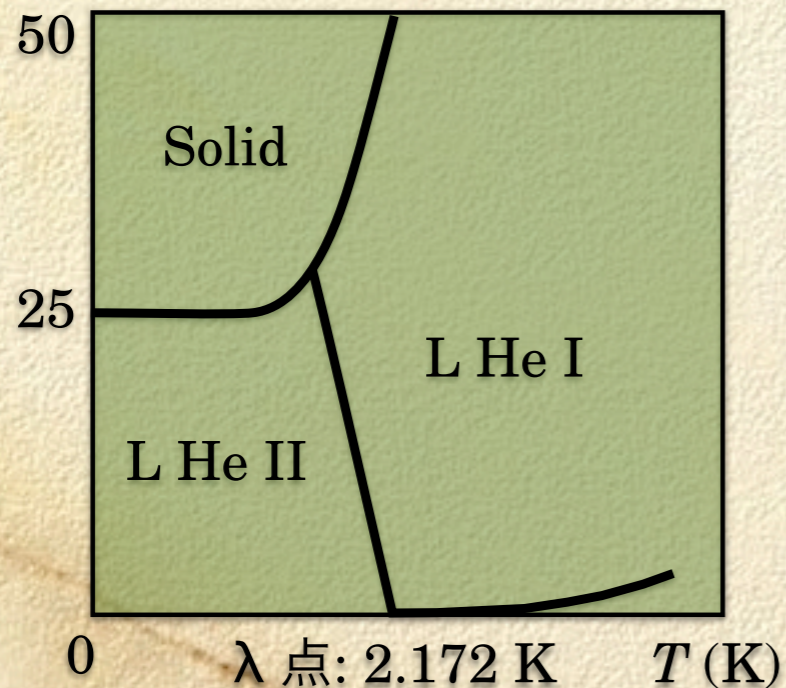
電子：Fermion  $\times 2$  陽子：Fermion  $\times 2$

共に Boson：1つの状態に多数の粒子が入り得る

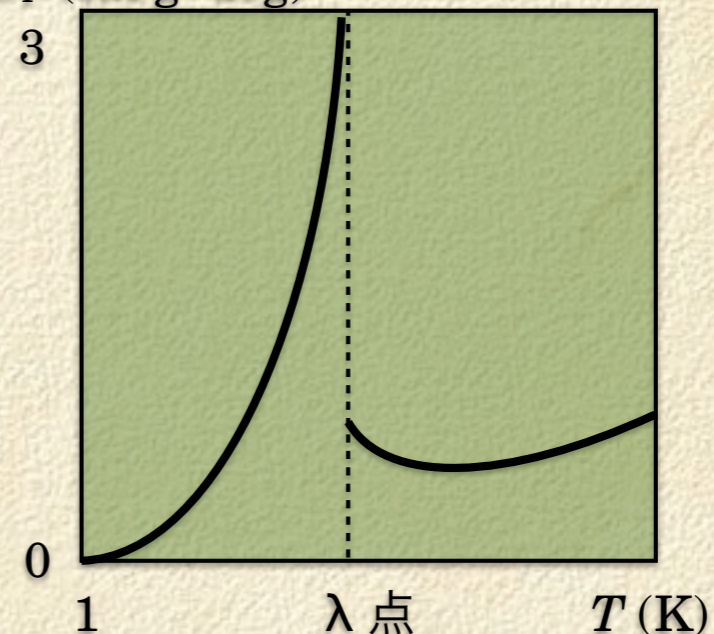
常圧では、絶対零度まで液体状態：  
閉殻構造、弱いVan der Waals 力、  
軽い質量、大きなゼロ点振動



$P$  (atom)



$C_P$  (cal/g $\cdot$ deg)



$\lambda$ 点以下ではマクロな量のHe原子が基底状態に

$\lambda$ 字状に比熱が消滅



# ○ ヘリウム原子と電子

○ヘリウム原子  $^4\text{He}$  - スピン0のボーズ粒子

軽い (水素の「1」,  $^3\text{He}$  の「3」の次)

質量数 4



$$E = \frac{\hbar^2}{2m} \left( \frac{2\pi}{L} \right)^2$$

ゼロ点振動エネルギーが大 (通常の体積の3倍! 不確定性原理)

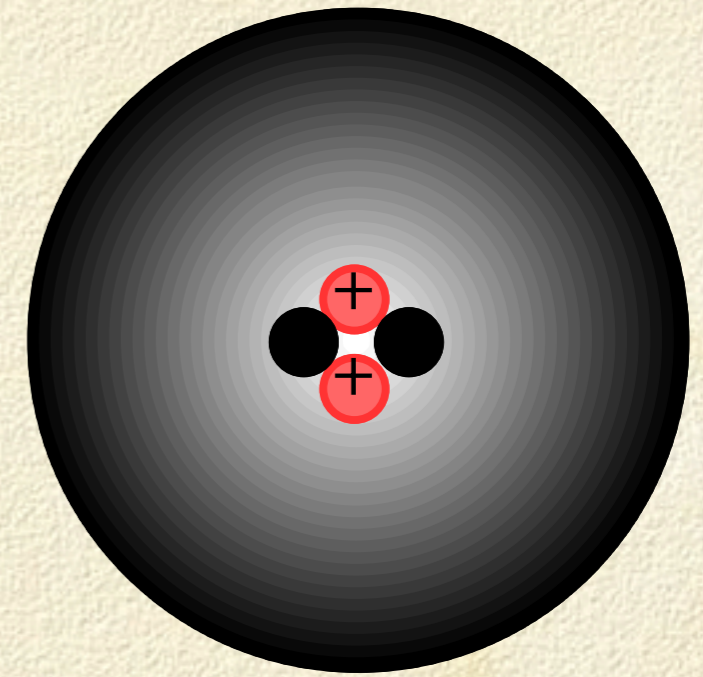
閉殻構造

対称性高い、歪みにくい

van der Waals 力 ↓

原子間の相互作用が非常に弱い

常圧では、絶対零度でも「液体」  
 $^3\text{He}$ 、 $^4\text{He}$  のみ!



○電子、 $^3\text{He}$  - スピン (電子の自転運動による磁石)  $1/2$  のフェルミ粒子

金属の中の電子

電子は、陽子よりも2000倍近く軽い  $\Rightarrow$  広がる方がエネルギーを得できる (金属結合)

フェルミエネルギーが大きい  $\Rightarrow$  6~8万度! (金・銀・銅)  $\Rightarrow$  300 K でも超低温!!

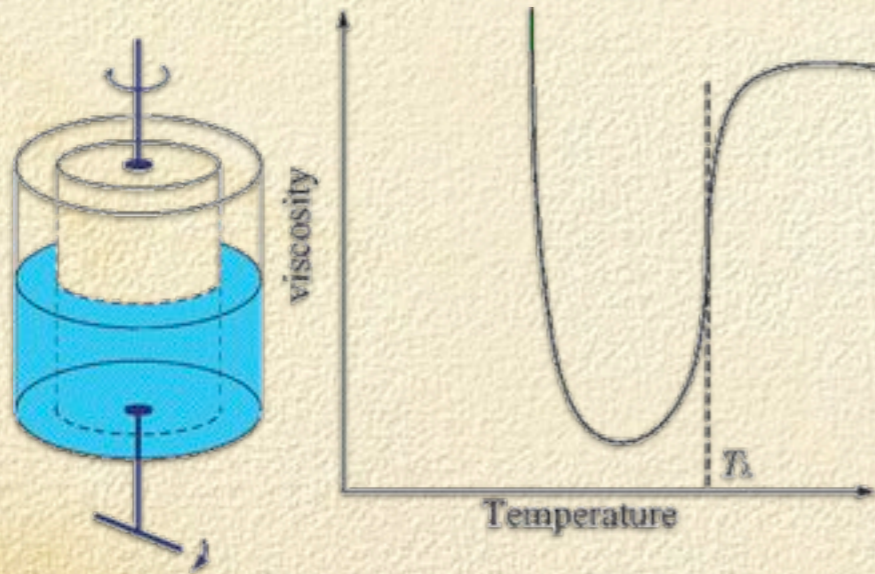
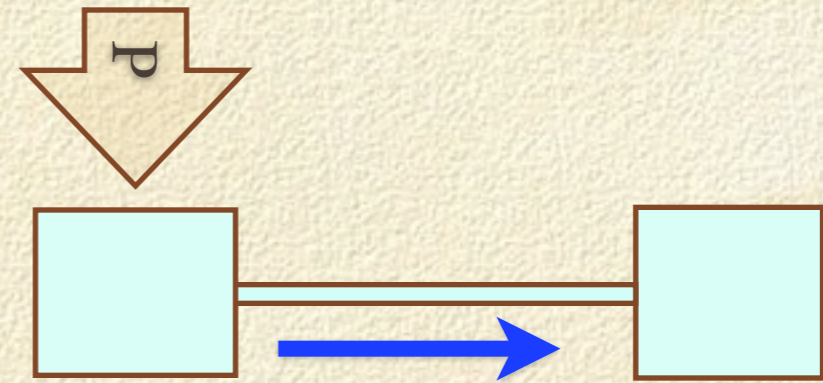
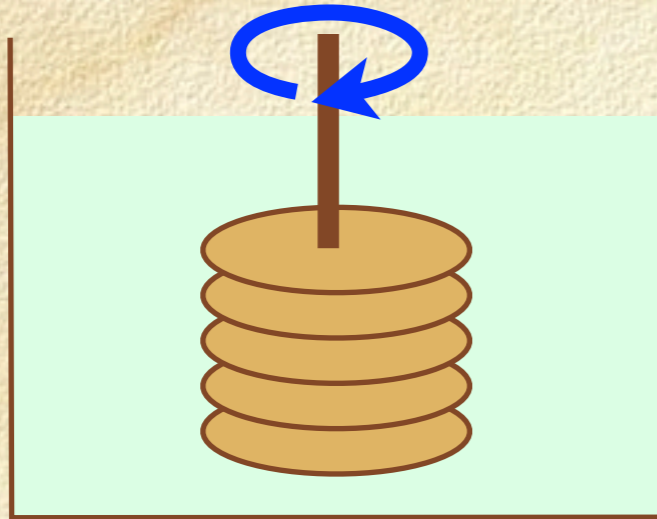
フェルミエネルギー近辺の  $k_B T$  の幅の電子のみ  $\Rightarrow$  外界とエネルギーのやり取り



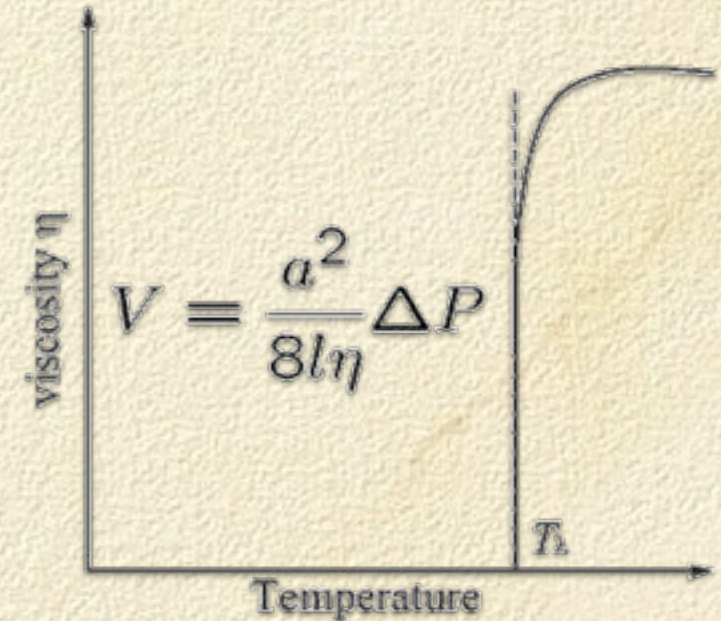
# ヘリウム $\text{He}^4$ の超流動：実験事実

L-He II 中の円盤の回転運動

管径と流速



$\eta$  : 有限



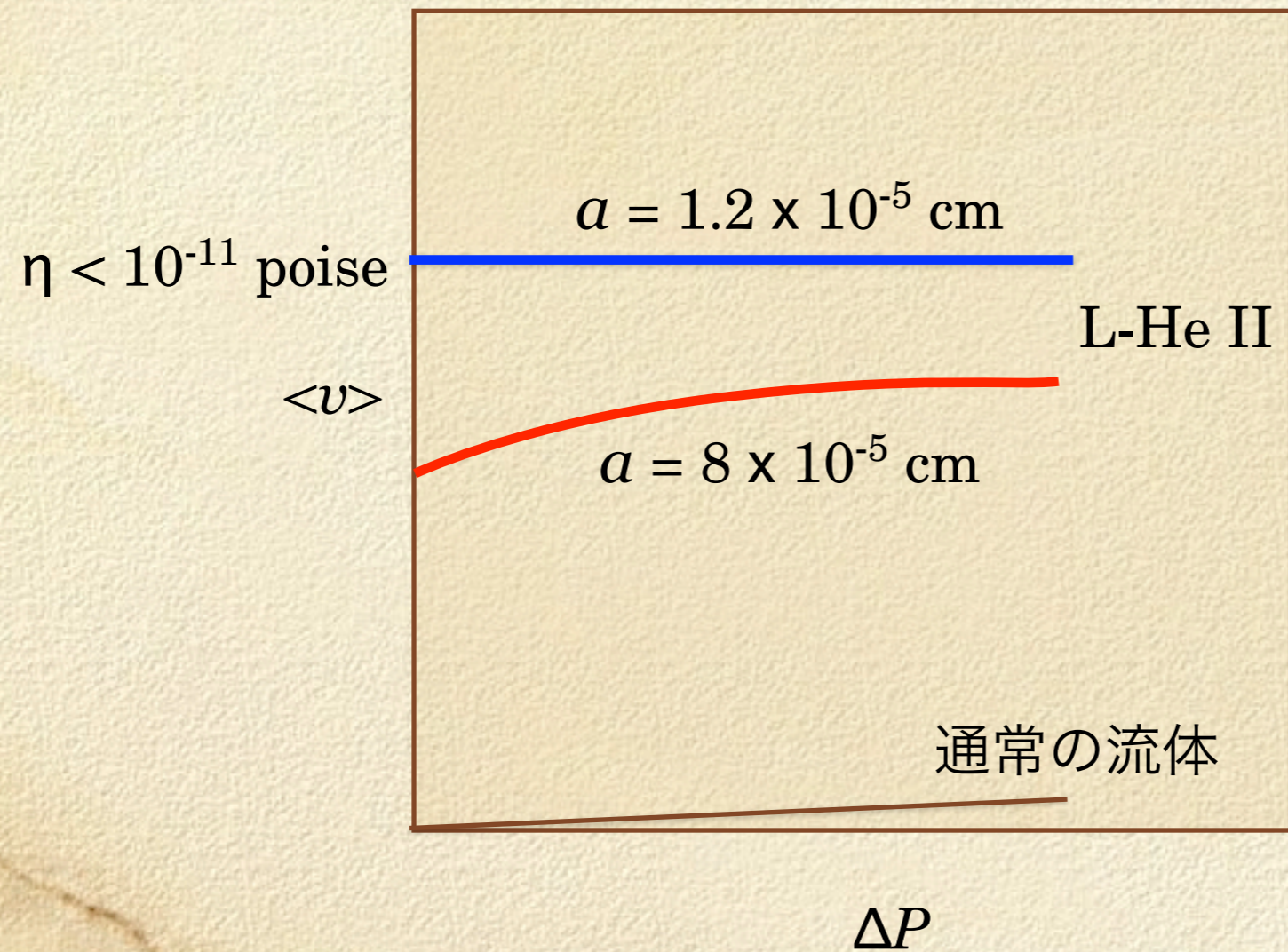
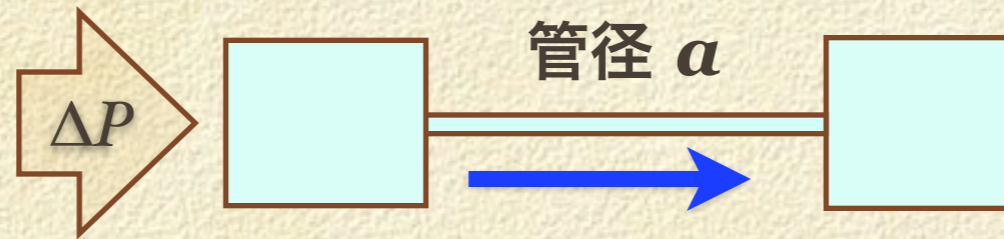
$\eta$  : 消滅

粘性係数は、測定方法に依存する

2流体モデル



# 管径と流速





# ○ 液体ヘリウム II ( $^4\text{He II}$ ) 超流動

ボーズ・アインシュタイン凝縮が起こると、殆ど全ての粒子が同一の軌道、基底状態に入る。

↓

液体ヘリウム全体として1つの波動関数で表わせる状態。

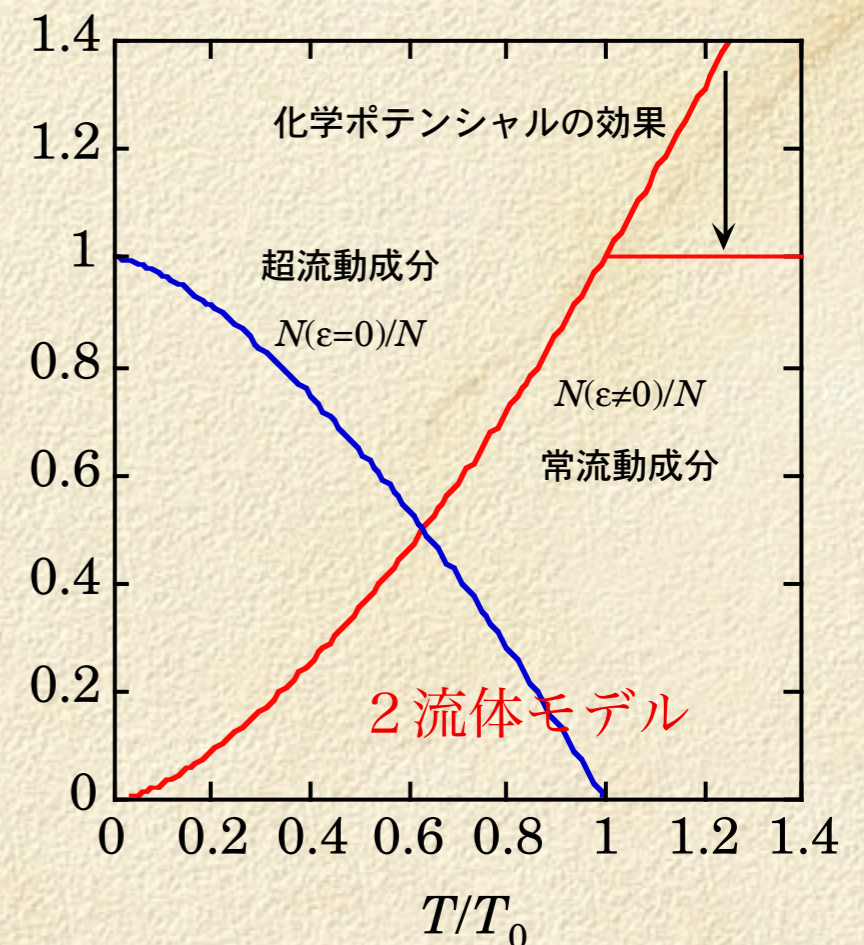
$T=0$  では運動エネルギー ゼロ

粘性抵抗 ゼロ

## 2 流体モデル

液体ヘリウムの超流動現象は、超流動体（基底状態）と常流動体（励起状態）の2つの異なる液体が混ざっている、としてよく説明される。

- 毛細管の流動抵抗 管の内径が細いほど抵抗が小さい
- 液体中の板の回転摩擦 有限の摩擦がある
- 液体ヘリウムの噴水
- 第2音波 密度一定の波
- 容器表面の He II 膜が壁を登って外の液面と等しくなる (100-200 Å の膜厚で、毎秒 0.5-40 m の速さ)





## 熱機械効果 (thermomechanical effect)

### 超流動

#### ヘリウムの噴水

超流動の2流体モデルのデモンストレーション

ヒーターで加温 超流動濃度減少を補う超流動流

#### こぼれる超流動ヘリウム

液体内の表面張力が極端に弱いため、ヘリウム原子とガラスの壁内分子との引力で壁をよじ登り、ついにはぽたぽたとこぼれてしまう。

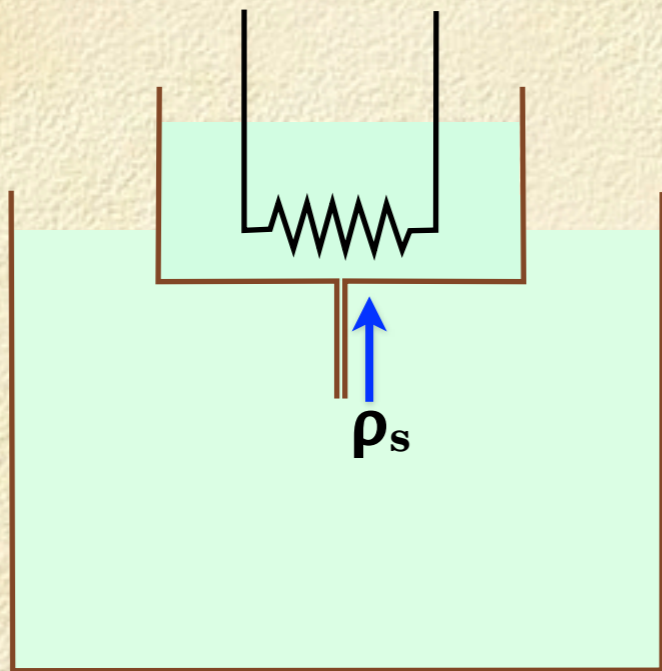




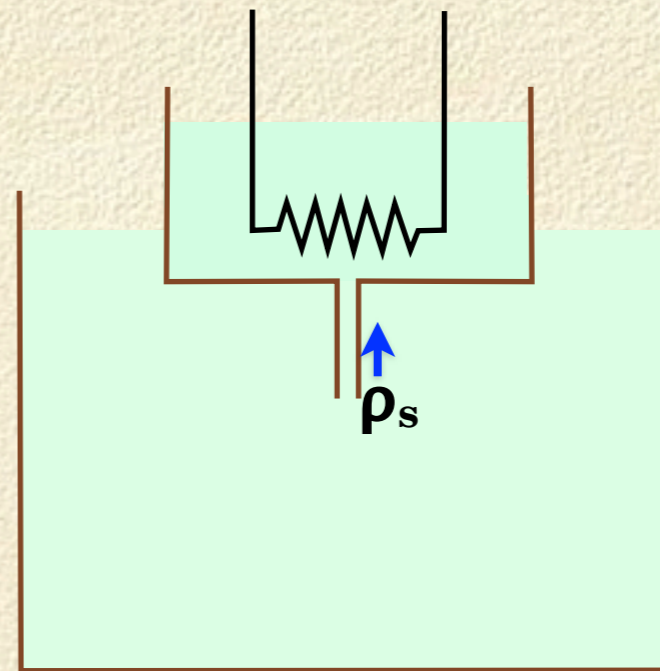
# ヘリウム $\text{He}^4$ の超流動

## 実験事実

液温の上昇に伴い、 $\rho_s \rightleftharpoons \rho_n$  の入れ替え：管を通して  $\rho_s$  が流入



細い管



太い管

管が細いにも関わらず、液面上昇が速い！



# 超流動 He-II 中の音波

## 第一音波

通常の密度波

## 第二音波

密度一定の波  $\Rightarrow$  熱（エントロピー）の波

粘性の無い  $\rho_s$  が高速で熱を伝える

沸騰が起こらない：静水面

## 第三音波

薄膜状 He で起こる波

## 第四音波

微小空間内を伝搬する波：密度と熱の振動による特異な波

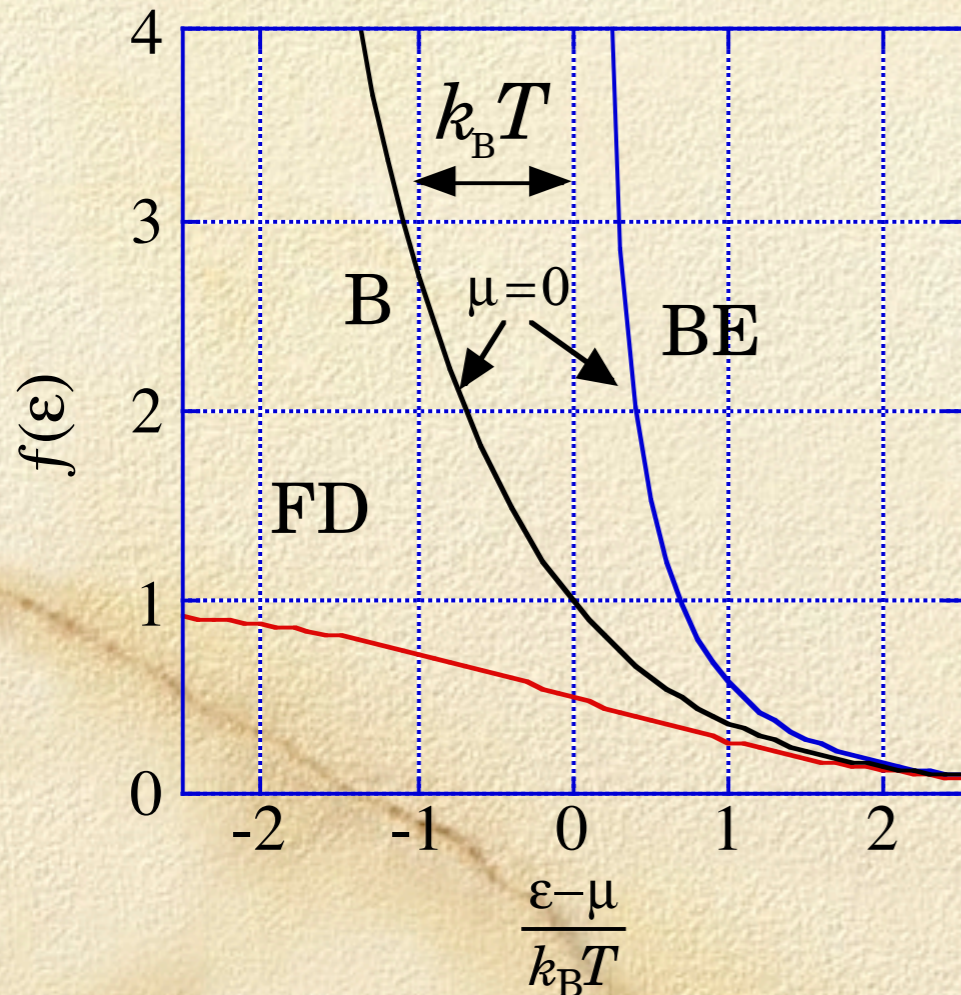


# ○ 量子の世界の「おきて」

## 古典統計

Boltzmann ボルツマン分布

$$f_B(\epsilon) = e^{-(\epsilon-\mu)/k_B T}$$



## 量子統計

**Fermi** 粒子が従う、  
**Fermi-Dirac** (フェルミ-ディラック) 分布

$$f_{FD}(\epsilon) = \frac{1}{e^{(\epsilon-\mu)/k_B T} + 1} (\leq 1)$$

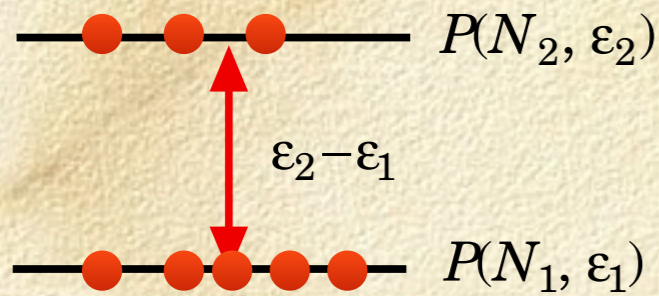
**Bose** 粒子が従う、  
**Bose-Einstein** (ボース-アインシュタイン) 分布

$$f_{BE}(\epsilon) = \frac{1}{e^{(\epsilon-\mu)/k_B T} - 1}$$



## ○ 占有確率

$N_2=3$ の系



$N_1=5$ の系

温度  $T$  の熱浴と接触している系の2つの状態、粒子数と全エネルギーが  $N_1, \epsilon_1$  と、  $N_2, \epsilon_2$  の場合を考えよう。この時、1の状態が実現する確率と2の状態の確率の比は、統計力学によると

$$\frac{P(N_2, \epsilon_2)}{P(N_1, \epsilon_1)} = \frac{e^{(N_2\mu - \epsilon_2)/k_B T}}{e^{(N_1\mu - \epsilon_1)/k_B T}}$$

で与えられる。ここで、 $e^{(N\mu - \epsilon)/k_B T}$  はギブス因子と呼ばれる。

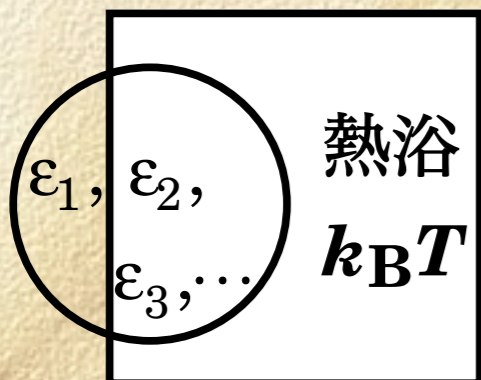
粒子数、 $N$  が一定の場合は、

$$\frac{P(N, \epsilon_2)}{P(N, \epsilon_1)} = \frac{e^{-\epsilon_2/k_B T}}{e^{-\epsilon_1/k_B T}} = e^{-(\epsilon_2 - \epsilon_1)/k_B T}$$

となる。ここで、 $e^{-\Delta\epsilon/k_B T}$  はボルツマン因子と呼ばれる。(Maxwellの速度分布の式参照)



# Fermi 粒子が従う、 Fermi-Dirac (フェルミ-ディラック) 分布



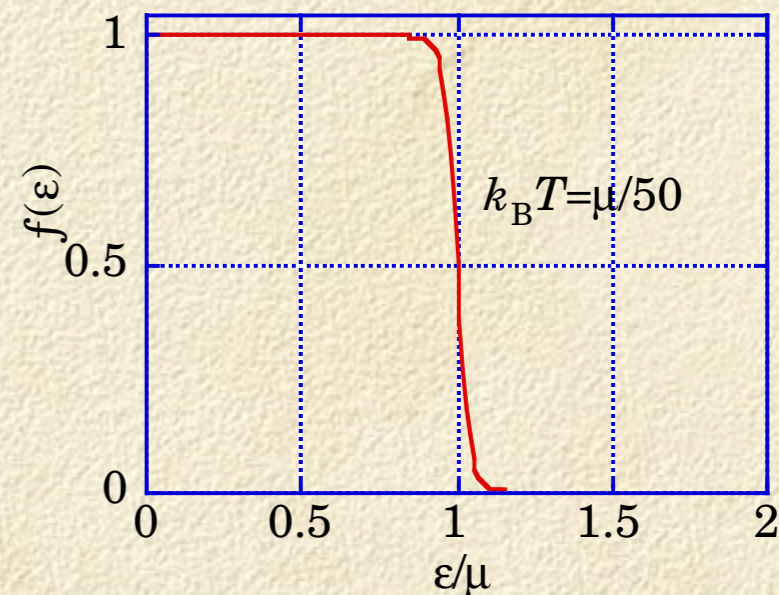
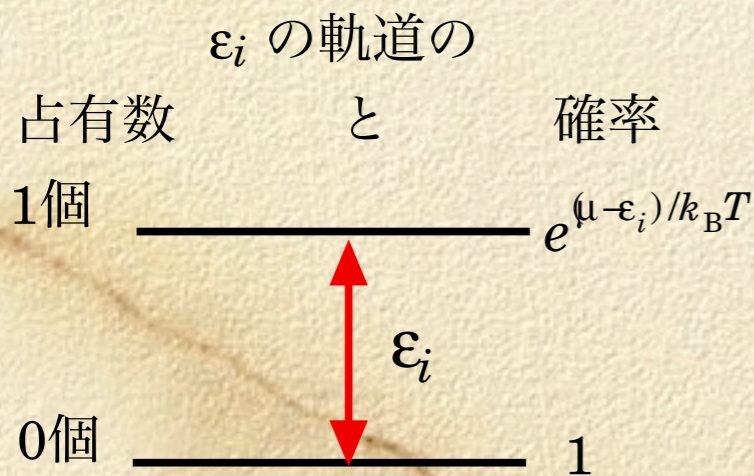
温度  $T$  の熱浴と接触していて、相互作用が弱く、互いに独立と考えられる  $N$  個の軌道の中の 1 つ、 $\epsilon_i$  ( $i=1, 2, 3, \dots, N$ ) を占有する **フェルミ** 粒子数 (0 か 1) の平均値  $f(\epsilon_i)$  を考えよう。

$\epsilon_i$  軌道が空の場合の相対確率は、**ギブス因子** を使って、 $p_i(0)=1$  と書ける。また、占有されている場合は： $p_i(1)=e^{(\mu-\epsilon_i)/k_B T}$ 、従って、平均の粒子数  $f_{FD}(\epsilon_i)$  は、

$$e^{N(\mu-\epsilon_i)} = 1, \text{ at } N = 0$$

$$f_{FD}(\epsilon_i) = \frac{0 \times p_i(0) + 1 \times p_i(1)}{p_i(0) + p_i(1)} = \frac{e^{(\mu-\epsilon_i)/k_B T}}{1 + e^{(\mu-\epsilon_i)/k_B T}} = \frac{1}{e^{(\epsilon_i-\mu)/k_B T} + 1}$$

で与えられる。この式は、独立な  $N$  個の軌道について共通に成り立つ。

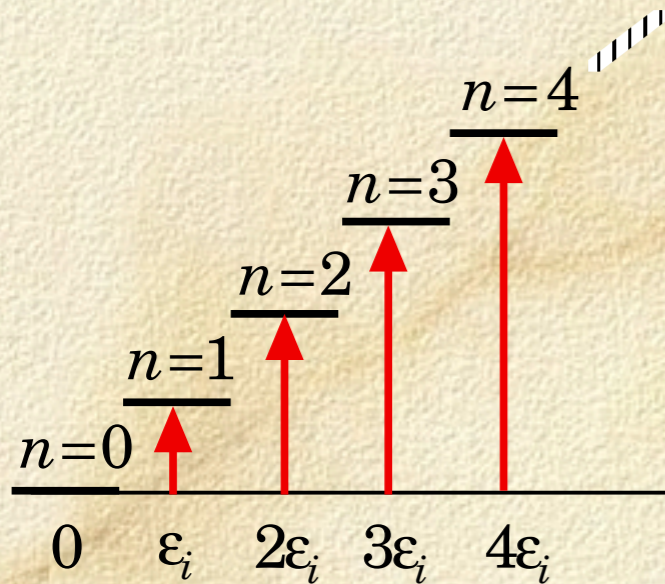




**Bose**

粒子が従う、

# Bose-Einstein (ボーズ-アインシュタイン) 分布



温度  $T$  の熱浴と接触していて、相互作用が弱く、互いに独立に考えることが可能な  $N$  個の軌道の中の 1 つ、 $\epsilon_i$  ( $i=1, 2, 3, \dots, N$ ) を占有するボーズ粒子数 ( $n$ : 任意) の平均値を考えよう。

0 から無限個 (全粒子数を十分に大きい数で代表して) までのボーズ粒子が、軌道  $\epsilon_i$  を占有する場合のギブス因子の和 (大きな状態和) は、

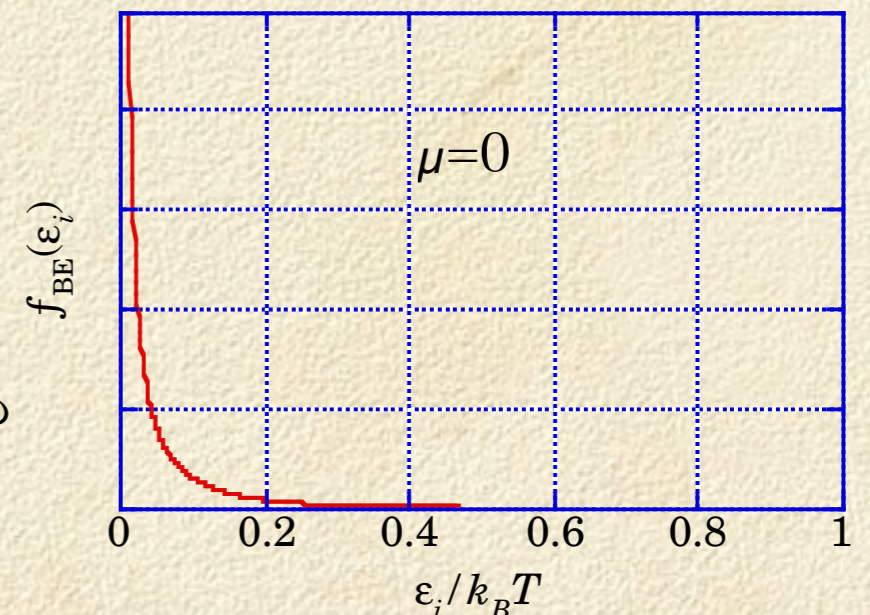
$$Z = \sum_{n=0}^{\infty} e^{n(\mu - \epsilon_i)/k_B T} = \sum_{n=0}^{\infty} \left( e^{(\mu - \epsilon_i)/k_B T} \right)^n = \sum_{n=0}^{\infty} x^n = \frac{1}{1-x} = \frac{1}{1 - e^{(\mu - \epsilon_i)/k_B T}}, \quad (x = e^{(\mu - \epsilon_i)/k_B T})$$

と書ける。そうすると、軌道  $\epsilon_i$  を占有するボーズ粒子数の平均値  $f_{BE}(\epsilon_i)$  は、

$$f_{BE}(\epsilon_i) = \frac{\sum_{n=0}^{\infty} n x^n}{\sum_{n=0}^{\infty} x^n} = \frac{x \frac{d}{dx} \sum_{n=0}^{\infty} x^n}{\sum_{n=0}^{\infty} x^n} = \frac{x \frac{d}{dx} (1-x)^{-1}}{(1-x)^{-1}}$$

$$= \frac{x}{1-x} = \frac{1}{x^{-1} - 1} = \frac{1}{e^{(\epsilon_i - \mu)/k_B T} - 1},$$

と求められ、ボーズ・アインシュタイン分布が得られる。この式も  $N$  個の軌道に入るボーズ粒子が互いに独立なので共通に成り立つ。化学ポテンシャル  $\mu$  は、全粒子数が  $N$  個になるように決まる。

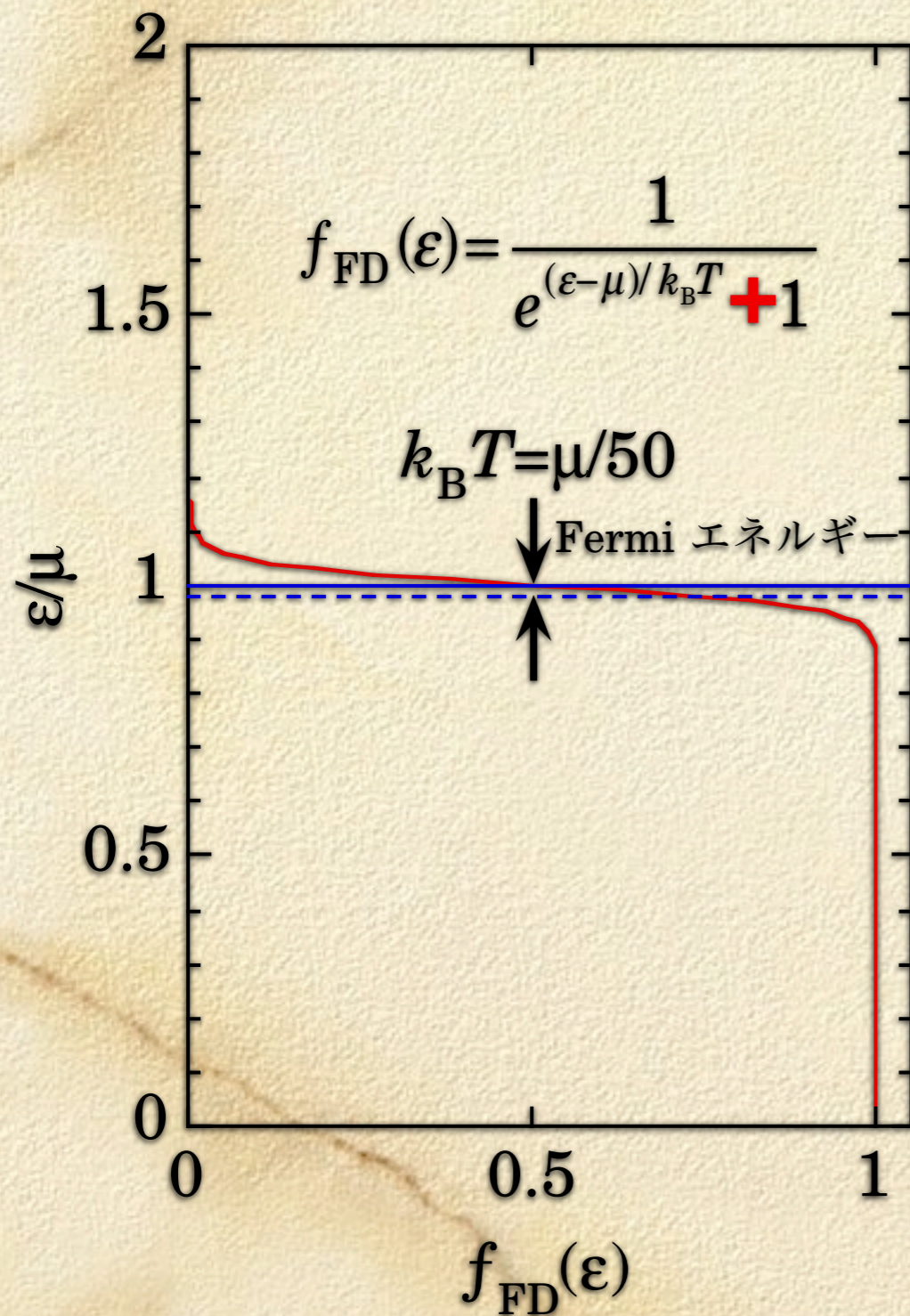




# ○ F D分布とB E分布の違い

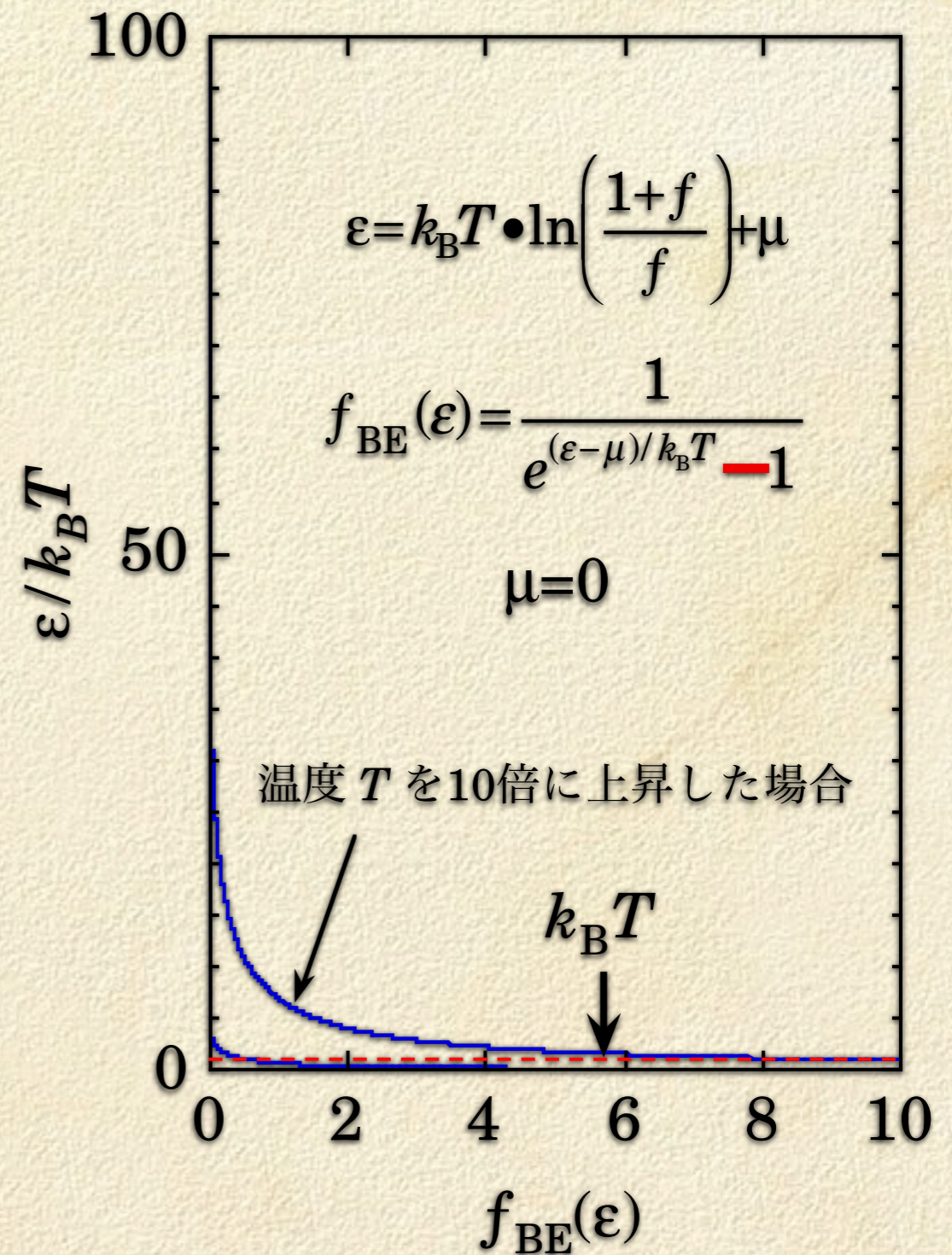
## フェルミ・ディラック分布

金属電子, 陽子, 中性子,  $^3\text{He}$ など



## ボーズ・アインシュタイン分布

$^4\text{He}$ , フォトン, フォノンなど





# ○ ボーズ・アインシュタイン凝縮

アインシュタイン (1924年)

ボーズ気体のきわめて著しい凝縮現象の指摘

⇒ ボーズ・アインシュタイン凝縮

<大雑把な議論>

ボーズ・アインシュタイン分布 (右図参照)

各軌道内の占有粒子数  $\propto k_B T$

高温では、占有確率  $f$  非常に大 (右図  $k_B T=50$  参照)

化学ポテンシャル  $\mu \Rightarrow$  負 ( $f$  を減らす効果)

ところが

十分低温  $f$  が極端に減少 (右図  $k_B T=1$  参照)

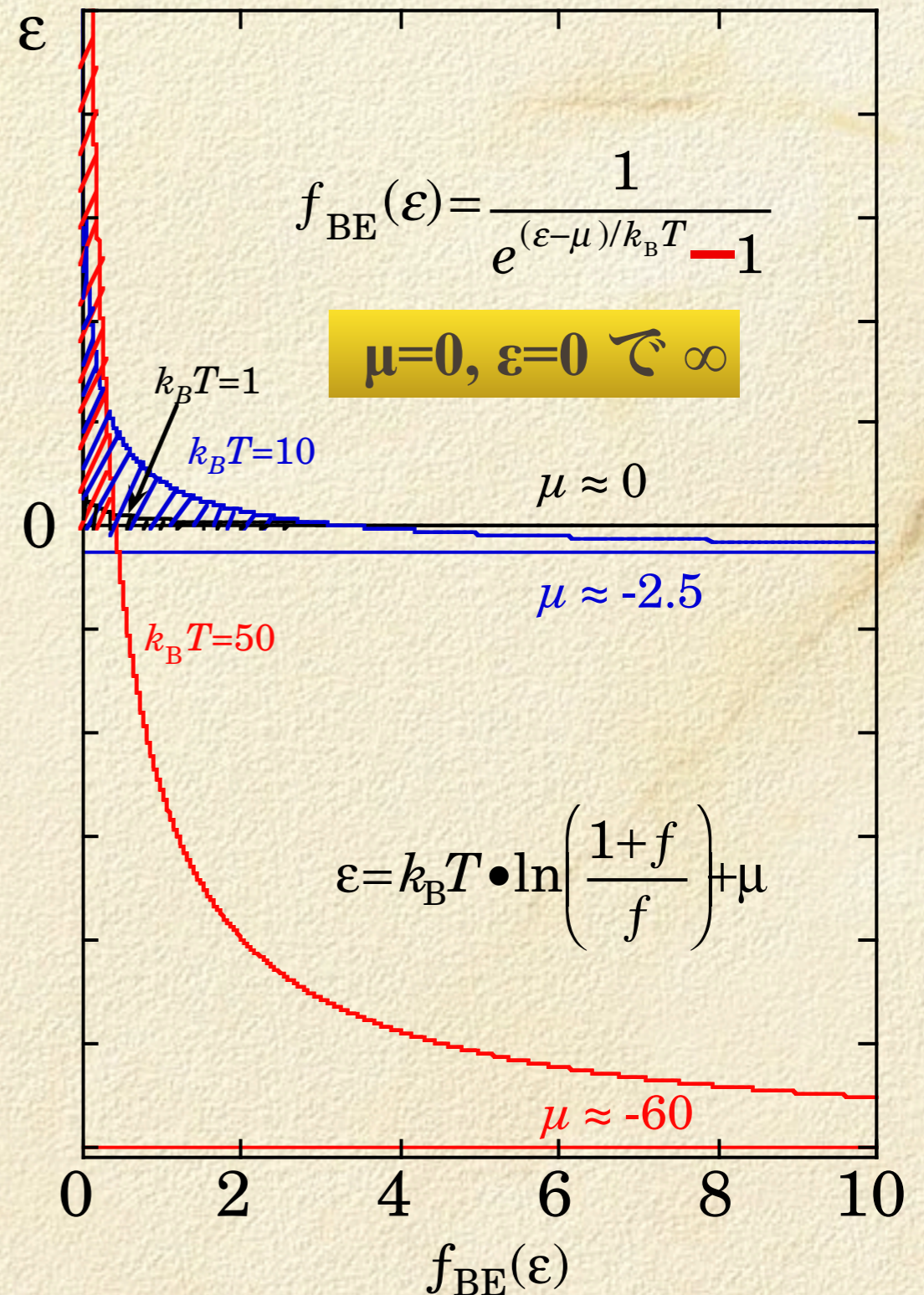
$\mu=0 \Rightarrow f$  の面積小 全粒子  $N$  を収容できず

↓

$\epsilon=0$  の軌道に収容 ( $\mu=0$  の時、無限に収容可)

注：実際には、エネルギー  $\epsilon$  と軌道数は比例せず

状態密度が掛かる





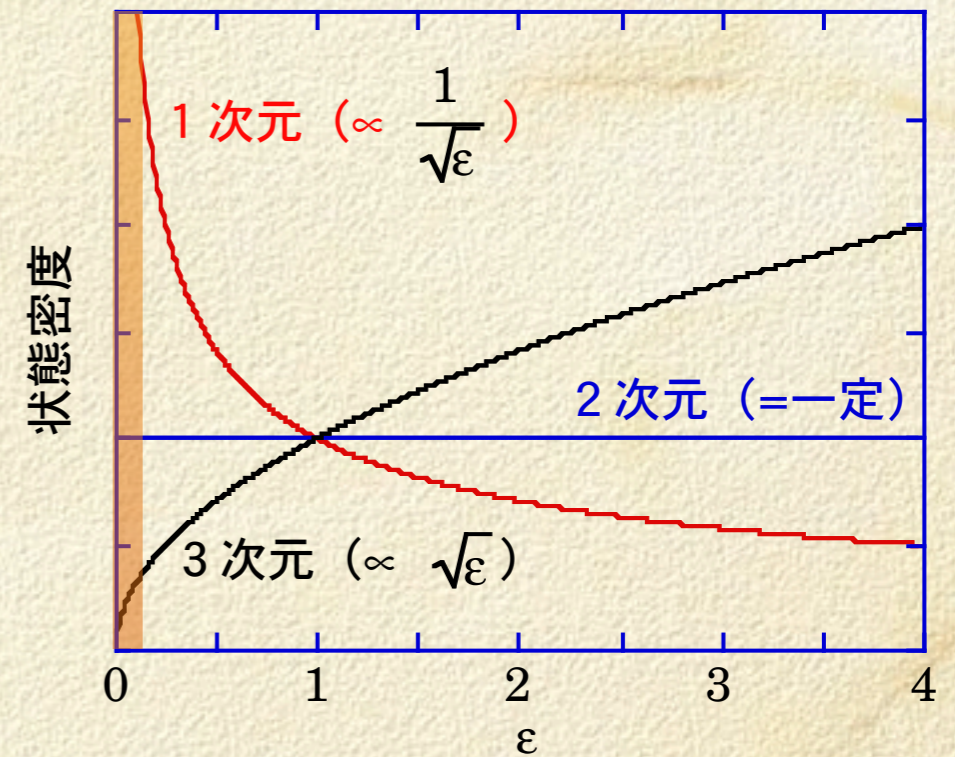
# ボーズ・アインシュタイン凝縮 状態密度

状態密度  $D(\varepsilon)$  単位エネルギー  $\Delta\varepsilon$  の中の軌道数  
 1次元の場合：（「量子性」を参照）

$$\varepsilon_n = \frac{\hbar^2 k^2}{2m} = \frac{\hbar^2}{2m} \left( \frac{2\pi}{L} \right)^2 n^2, \quad (n=0, 1, 2, \dots), (1)$$

$$\Rightarrow D(\varepsilon) \propto 1/\sqrt{\varepsilon}$$

明確なボーズ・アインシュタイン凝縮は起こらない

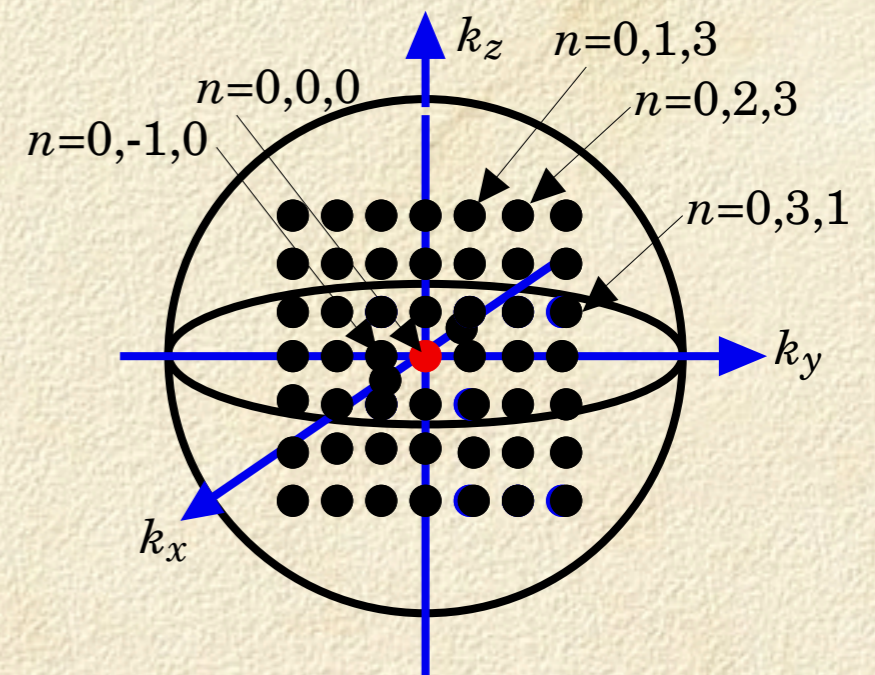


3次元の場合：
$$\varepsilon_n = \frac{\hbar^2(k_x^2 + k_y^2 + k_z^2)}{2m} = \frac{\hbar^2}{2m} \left( \frac{2\pi}{L} \right)^2 (n_x^2 + n_y^2 + n_z^2)$$

$x, y, z$  の3方向  $\Rightarrow$  軌道数が急速に  $n$  と共に増大

$$\Rightarrow D(\varepsilon) \propto \sqrt{\varepsilon}$$

$\varepsilon=0$  でゼロになるのは、 $\varepsilon$  が大きいところで急激に増加するため、相対的に影響が減少した。





# ○ボーズ・アインシュタイン凝縮

# 3次元 BE 気体

全粒子数  $N$

$$N = N(\epsilon=0) + N(\epsilon \neq 0) = \frac{1}{e^{-\mu/k_B T} - 1} + \sum_{n_z=1}^{\infty} \sum_{n_y=1}^{\infty} \sum_{n_x=1}^{\infty} f(\epsilon) = \frac{1}{e^{-\mu/k_B T} - 1} + \int_0^{\infty} d\epsilon D(\epsilon) f(\epsilon)$$

基底状態の占有数:  $N(\epsilon=0)$

全励起状態の占有数:  $N(\epsilon \neq 0)$

$$N(\epsilon \neq 0) = \sum_{n_z=1}^{\infty} \sum_{n_y=1}^{\infty} \sum_{n_x=1}^{\infty} f(\epsilon) = \int_0^{\infty} d\epsilon D(\epsilon) f(\epsilon) = \frac{V}{4\pi^2} \left( \frac{2m}{\hbar^2} \right)^{\frac{3}{2}} \int_0^{\infty} d\epsilon \frac{\sqrt{\epsilon}}{e^{(\epsilon-\mu)/k_B T} - 1}$$

より、

$$N(\epsilon \neq 0) = 0.327V \left( \frac{2mk_B T}{\pi \hbar^2} \right)^{\frac{3}{2}}$$

凝縮温度  $T_c$  で、励起状態にちょうど粒子数  $N$  が入るので、

$$T_0 = \frac{\pi \hbar^2}{2mk_B} \left( \frac{N}{0.327V} \right)^{\frac{2}{3}} = 3.1 \text{ [K]}.$$

この数値は実験値の **2.17 K** と良く一致する。

<参考> 最初の励起エネルギーは、 $\epsilon_n = 3.47 \times 10^{-37}$  [J]

温度になおして、 $\epsilon_n/k_B = 2.51 \times 10^{-14}$  [K]  $\lll 3.1$  K

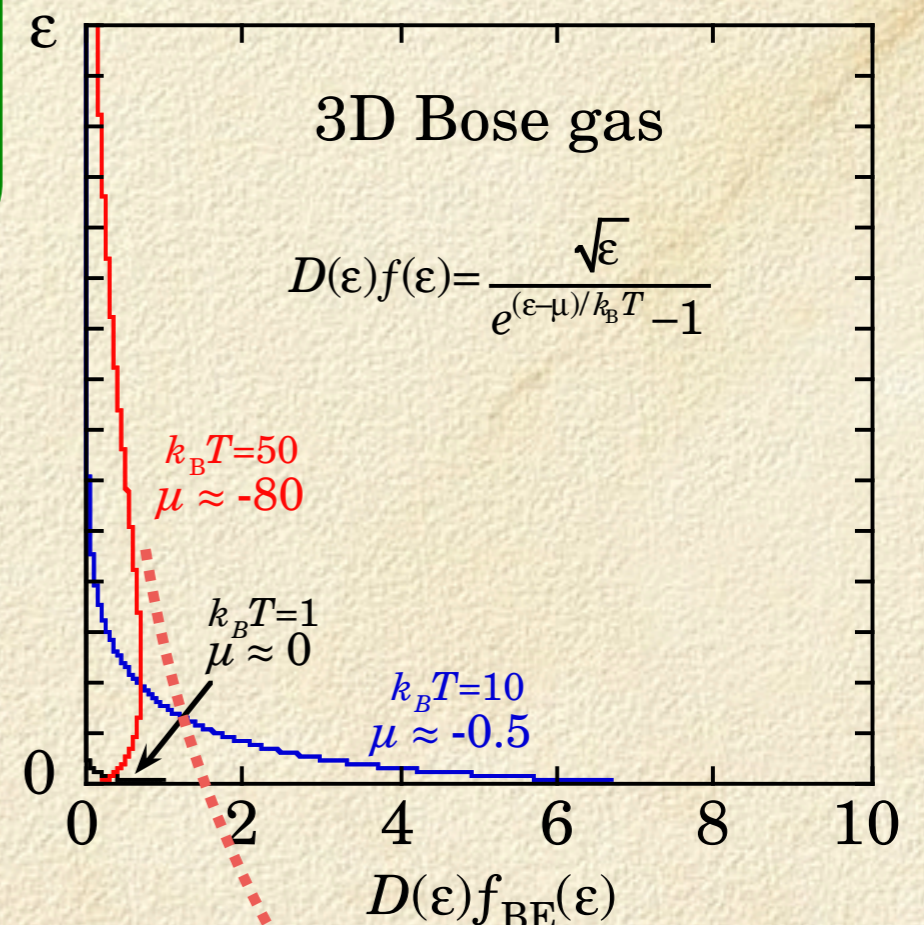
超伝導とは大違い

液体  ${}^4\text{He}$ ,  $1 \text{ cm}^3$ 、約  $2.18 \times 10^{22}$  個

$$m_{{}^4\text{He}} \approx 4m_p = 6.68 \times 10^{-27} \text{ [kg]}$$

$$\hbar = 1.05 \times 10^{-34} \text{ [J}\cdot\text{s]}$$

$$k_B = 1.38 \times 10^{-23} \text{ [J/K]}$$





# ヘリウム $^4\text{He}$ の超流動：原因

## ◎ 3次元液体ヘリウム

1次元系であれば

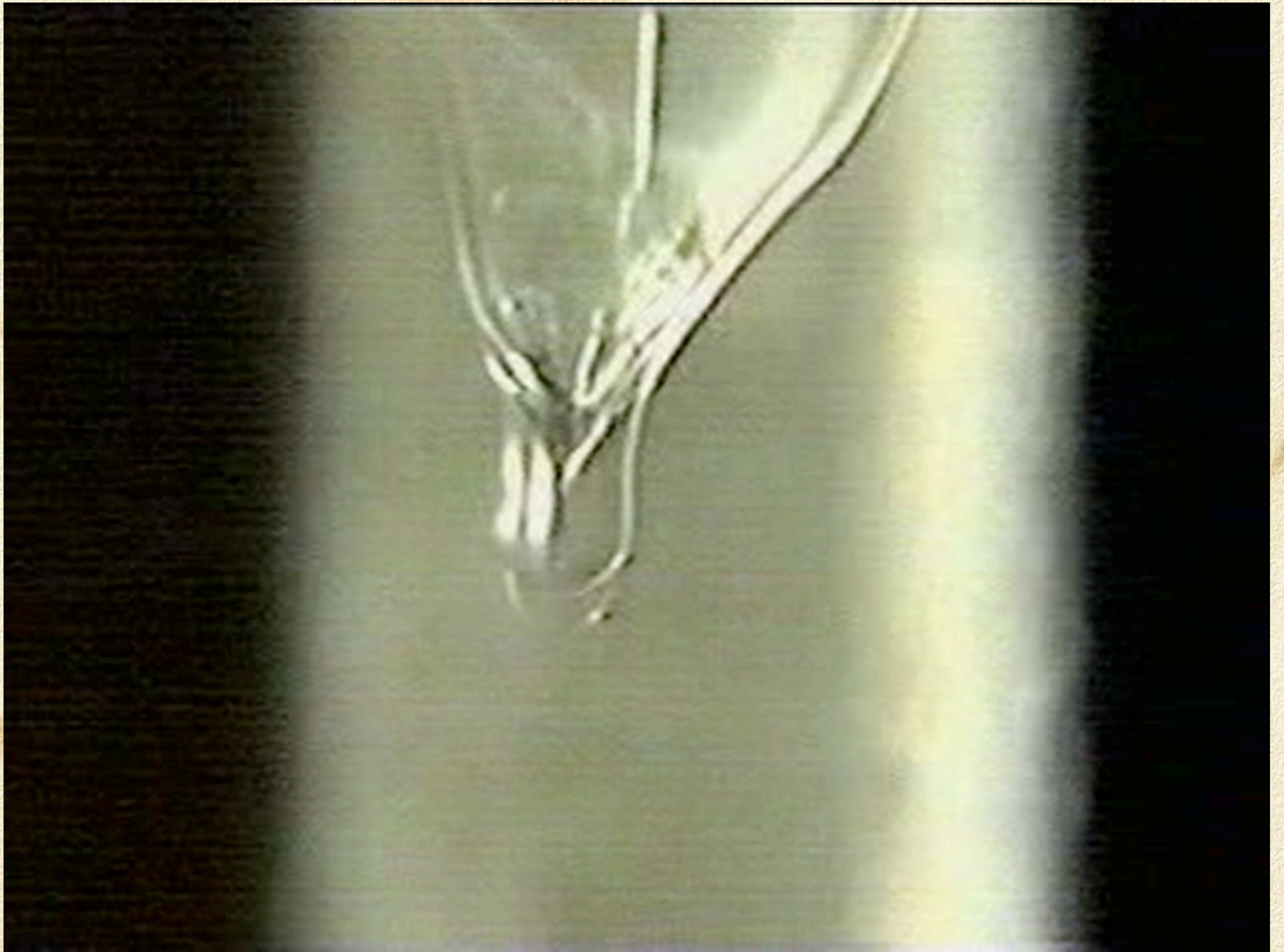
基底状態と励起状態の占有数の比は線形に変化 ( $\sim 1 - \varepsilon/k_B T$ )

$\Rightarrow$  急激な変化は生じない

3次元的な  $k$ -空間： $k_B T$  が小さくなると、励起状態の状態数が急減

超流動の素励起は量子渦：ロトン







1 (mm<sup>3</sup>)/6 (sec)

容器の直径は約 7 mm なので、円周長は約 20 mm

He が単原子層の膜厚で流れているとすると、約  $4 \text{ \AA} = 4 \times 10^{-8} \text{ cm} = 4 \times 10^{-7}$

mm と円周長の 20 mm を掛けて、

$$20 \times 4 \times 10^{-7} = 8 \times 10^{-6} \text{ mm}^2$$

の断面積を持つ流れになる。そうすると、1秒間に  $1/6 \text{ mm}^3$  溜まるには、

$$1/6 / (8 \times 10^{-6}) = 2 \times 10^4 \text{ mm/s} = 20 \text{ m/s}$$

が得られる。